

# C/EBP $\beta$ 介导NPHP1敲低的肾小管上皮细胞TNF- $\alpha$ 通路下游炎症因子的表达

黄丹梅, 刘雅清, 李丹彤, 张静兰, 杨翌晨, 孙良忠  
南方医科大学南方医院儿科, 广东 广州 510515

**摘要:**目的 探讨NPHP1基因缺陷肾小管上皮细胞TNF- $\alpha$ 信号通路激活及其调控的炎症因子表达。方法 使用重组慢病毒LV-NPHP1-RNAi构建敲低NPHP1表达的人近端肾小管细胞株(HK2)细胞(NPHP1<sup>KD</sup> HK2)。通过实时荧光定量PCR、Western blot、酶联免疫吸附实验法检测各细胞株TNF- $\alpha$ 表达、p38和C/EBP $\beta$ 激活状态及其调控炎症因子CXCL5、CCL20、IL-1 $\beta$ 、IL-6、MCP-1等表达情况。通过构建siRNA敲低野生型和NPHP1<sup>KD</sup> HK2细胞C/EBP $\beta$ 表达, 观察上述指标变化。结果 敲低NPHP1表达后, NPHP1<sup>KD</sup> HK2细胞TNF- $\alpha$ 、C/EBP $\beta$ 、CXCL5、IL-1 $\beta$ 和IL-6的mRNA表达量增加( $P<0.05$ )；Western blotting结果显示, phospho-p38、C/EBP $\beta$ 表达上调( $P<0.05$ )；培养液上清IL-6水平增加( $P<0.05$ )。使用siRNA敲低C/EBP $\beta$ 表达后, NPHP1<sup>KD</sup> HK2细胞CSF2、CCL20、IL-1 $\beta$ 和IL-6的mRNA表达水平下调( $P<0.05$ )；Western blot显示phospho-p38表达下调( $P<0.05$ )；培养液上清IL-6水平下降( $P<0.001$ )。结论 NPHP1基因缺陷的NPHP1<sup>KD</sup> HK2细胞中TNF- $\alpha$ 信号通路被激活, 其调控的下游印证因子表达上调。C/EBP $\beta$ 可能是介导NPHP1<sup>KD</sup> HK2细胞TNF- $\alpha$ 信号通路相关炎症因子表达的关键转录因子。

**关键词:**肾单位肾病; TNF- $\alpha$ ; C/EBP $\beta$ ; 炎症因子; NPHP1

## C/EBP $\beta$ mediates expressions of downstream inflammatory factors of the tumor necrosis factor- $\alpha$ signaling pathway in renal tubular epithelial cells with NPHP1 knockdown

HUANG Danmei, LIU Yaqing, LI Dantong, ZHANG Jinglan, YANG Yichen, SUN Liangzhong  
Department of Pediatrics, Nanfang Hospital, Southern Medical University, Guangzhou 510515, China

**Abstract:** Objective To explore the activation of tumor necrosis factor- $\alpha$  (TNF- $\alpha$ ) signaling pathway and the expressions of the associated inflammatory factors in NPHP1-defective renal tubular epithelial cells. Methods A human proximal renal tubular cell (HK2) model of lentivirus-mediated NPHP1 knockdown (NPHP1<sup>KD</sup>) was constructed, and the expressions of TNF- $\alpha$ , p38, and C/EBP $\beta$  and the inflammatory factors CXCL5, CCL20, IL-1 $\beta$ , IL-6 and MCP-1 were detected using RT-qPCR, Western blotting or enzyme-linked immunosorbent assay. A small interfering RNA (siRNA) was transfected in wild-type and NPHP1<sup>KD</sup> HK2 cells, and the changes in the expressions of TNF- $\alpha$ , p38, and C/EBP $\beta$  and the inflammatory factors were examined. Results NPHP1<sup>KD</sup> HK2 cells showed significantly increased mRNA expressions of TNF- $\alpha$ , C/EBP $\beta$ , CXCL5, IL-1 $\beta$ , and IL-6 ( $P<0.05$ ), protein expressions of phospho-p38 and C/EBP $\beta$  ( $P<0.05$ ), and IL-6 level in the culture supernatant ( $P<0.05$ ), and these changes were significantly blocked by transfection of cells with siRNA-C/EBP $\beta$  ( $P<0.05$ ). Conclusion TNF- $\alpha$  signaling pathway is activated and its associated inflammatory factors are upregulated in NPHP1<sup>KD</sup> HK2 cells, and C/EBP $\beta$  may serve as a key transcription factor to mediate these changes.

**Keywords:** nephronophthisis; tumor necrosis factor- $\alpha$ ; C/EBP $\beta$ ; inflammatory factor; NPHP1

肾单位肾病(NPH)是一种常染色体隐性遗传性慢性间质性囊肿性肾病, 是导致儿童及青少年肾衰竭最主要遗传性疾病, 占儿童肾衰竭患者的5%~15%<sup>[1,2]</sup>。根据患者进入终末期肾病的平均年龄不同, 将NPH分为婴儿型(肾衰竭平均年龄为1岁)、少年型(平均13岁)、青年型(平均19岁)和成人型/迟发型<sup>[3]</sup>。临幊上以少年型最常见。研究发现NPH也是成人肾衰竭的重要病因<sup>[4]</sup>。NPH特征性肾脏病理改变为皮髓质交界处肾小管扩张和肾囊肿形成, 肾小管基底膜增厚分层撕裂, 弥漫肾间

质纤维化和炎症细胞浸润<sup>[5]</sup>。NPH的肾间质纤维化和炎症出现在疾病的早期, 其机制尚不清楚。

NPH致病基因目前已发现26种, 其中NPHP1突变最常见, 约占NPH病例的20%<sup>[6]</sup>。NPH致病基因编码蛋白大多数位于初级纤毛过渡区、inversin隔室及内转运(IFT)复合体亚基上<sup>[7]</sup>, 与初级纤毛的结构和功能有关<sup>[8]</sup>。纤毛主要分为动力纤毛和非动力纤毛。非动力纤毛, 即初级纤毛, 广泛分布于除淋巴细胞以外的各种静止细胞, 主要感受细胞外信号, 通过不同的细胞内信号途径调节组织细胞和器官的发育、分化和成熟<sup>[9]</sup>。初级纤毛结构和功能缺陷导致的疾病称为(初级)纤毛病。目前已发现多种初级纤毛相关的信号通路, 如Wnt通路、Hedgehog通路、DNA损伤反应(DDR)通路、Hippo通路、cAMP通路和mTOR通路等<sup>[10]</sup>。目前研究认为这些信号通路可能参与介导初级纤毛病的发生发展, 但具体

收稿日期:2023-08-28

基金项目:广东省自然科学基金(2022A1515012307;2020A1515010286);北京白求恩公益基金会(SCE093DS);南方医科大学南方医院院长基金青年项目(2020C021)

作者简介:黄丹梅,在读硕士研究生,E-mail: hdm\_03@126.com

通信作者:孙良忠,主任医师,博士生导师,E-mail: sunlzh2018@smu.edu.cn

机制不详。

课题组前期研究发现,*NPHP1*敲低的犬远曲小管上皮细胞,以及*NPHP1*和*NPHP5*缺陷患者尿液上皮细胞转录组测序结果均显示肿瘤坏死因子(TNF- $\alpha$ )信号通路相关信号因子被激活,TRAF2/5、C/EBP $\beta$ 、IL-1 $\beta$ 和IL-6等表达上调。TNF- $\alpha$ 信号通路是调节免疫和炎症的关键信号通路之一。为探究TNF- $\alpha$ 信号通路在*NPHP1*缺陷肾小管上皮细胞的激活情况及其在NPH发病中可能的作用,本研究通过体外敲低人近端肾小管上皮细胞株HK2细胞*NPHP1*表达(*NPHP1*<sup>KD</sup>HK2细胞),观察TNF信号通路的激活情况。结果显示,敲低*NPHP1*表达后,HK2细胞TNF及其调控的验证因子表达升高,调控相关炎症因子表达的转录因子C/EBP $\beta$ 表达升高,提示TNF信号通路调控的炎症因子可能参与介导NPH疾病的发生发展。

## 1 材料和方法

### 1.1 细胞株与试剂来源

野生型人肾近曲小管上皮细胞株(HK2细胞)由南方医院肾内科聂静教授课题组惠赠。主要试剂:细胞/组织总RNA提取试剂盒、HiScript II逆转录试剂盒、高灵敏性染料法定量PCR检测试剂盒(南京诺唯赞生物

科技股份有限公司),胎牛血清(Sigma),DMEM/F12、DMEM basic(Gibco),0.25%胰蛋白酶-EDTA(Gibco),10<sup>4</sup>/mL 青-链霉素(Gibco),嘌呤霉素(Sigma),1×磷酸盐缓冲液(1×PBS,0.0067 mol/L)(Gibco),转铁蛋白、重组人胰岛素(细胞培养级别)(北京索莱宝科技有限公司),GP-transfect-Mate(苏州吉玛基因股份有限公司),兔抗*NPHP1*多克隆抗体(Sigma),兔抗 $\beta$ -tubulin单克隆抗体(沈阳万类生物科技有限公司),兔抗CEBP beta单克隆抗体(上海Abcam),兔抗p38 MAPK、phospho-p38单克隆抗体(上海艾比玛特医药科技有限公司),山羊抗兔IgG(H+L)-HRP 辣根过氧化物酶标记(杭州弗德生物科技有限公司)。

### 1.2 实验方法

1.2.1 体外人源*NPHP1*稳定低表达HK2细胞模型构建  
构建敲低*NPHP1*基因表达的慢病毒短发夹RNA(LV-*NPHP1*-RNAi,干扰序列见表1,上海吉凯基因公司),转染HK2细胞,构建体外人源*NPHP1*稳定低表达细胞HK2模型。按照说明书选择最佳实验条件,设计复感染指数梯度,并使用配套的HiTransGA感染增强液进行转染。按照嘌呤霉素工作浓度梯度,筛选加药培养48 h全部细胞死亡的最低浓度。

表1 干扰序列

Tab.1 Interference sequence

Number	Accession NO.	Target Seq	GC
<i>NPHP1</i> -RNAi (106032-1)	NM_207181	ccAAGTCGTATTCATTGATT	26.32%
Description	Homo sapiens nephrocystin 1 ( <i>NPHP1</i> ), transcript variant 2, mRNA		

1.2.2 敲低C/EBP $\beta$ 表达的小干扰RNA(siRNA)的构建与转染 siRNA-C/EBP $\beta$ 及阴性对照由北京擎科生物公司合成,干扰序列见表2。转染试剂GP-transfect-Mate,由苏州吉玛基因公司提供,实验过程严格按照说明书进行。

1.2.3 细胞培养与实验分组 所有细胞放置于37 °C、5% CO<sub>2</sub>细胞培养箱中培养。HK2细胞培养使用DMEM basic+10%FBS+1%双抗。*NPHP1*<sup>KD</sup>HK2细胞

培养使用完全培养基:10%FBS+1%双抗+0.02%嘌呤霉素+88.98% DMEM basic。细胞分6组:野生型(WT)、野生敲低型(WT+siRNA-C/EBP $\beta$ )、野生空载型(WT+siRNA-nc)、*NPHP1*敲低型(KD)、*NPHP1*敲低并C/EBP $\beta$ 敲低型(KD+siRNA-C/EBP $\beta$ )、敲低空载型(KD+siRNA-nc)。

1.2.4 细胞免疫荧光 使用24孔细胞培养板制作细胞爬片,经过洗涤、固定、通透、封闭后,一抗室温封闭1 h,荧光二抗封闭1 h,滴加含DAPI的封片剂,于荧光显微镜下观察并拍摄,imageJ进行荧光定量。

1.2.5 实时荧光定量PCR qPCR引物由深圳华大基因合成,序列见表3。通过细胞/组织总RNA提取试剂盒提取细胞总RNA,HiScript II逆转录试剂盒逆转录得到cDNA,高灵敏性染料法定量PCR检测试剂盒配置qPCR反应液,以上试剂盒都由南京诺唯赞生物科技有限公司提供,具体实验步骤严格按照说明书进行。

表2 干扰序列

Tab.2 Interference sequence

Number	Sequence (5'→3')
C/EBP $\beta$ -RNAi-1	UUCUUUAAAUAACACCACGGG
C/EBP $\beta$ -RNAi-2	UUCCAUGGAAUUUAAGGCAGG
C/EBP $\beta$ -RNAi-3	AAGAGGUUCGGAGAGGAAGUCG
Negative control	UUUCUCCGAACGUGUCACGUTT

表3 qPCR引物序列

Tab.3 Sequences of qPCR primers

Target gene	qPCR primer (5'→3')	Amplification products	GC (%)	Temperatures of anneal
GAPDH	GGAGCGAGATCCCTCCAAAAT (Upstream)	197 bp	52.38	59.86 °C
	GGCTGTTGTCATACTTCTCATGG (Downstream)		47.83	59.38 °C
NPHP1	GCTACAGAAGGCACTATTAGGT (Upstream)	177 bp	45.45	57.33 °C
	TGTGGCTCTGACTGTATGAATG (Downstream)		45.45	58.13 °C
TNF-α	GCTGCACCTTGAGTGATCG (Upstream)	108 bp	55.55	59.55 °C
	TCACTCGGGGTTCGAGAAGA (Downstream)		55.55	60.25 °C
C/EBPβ	GGAGCCCCGTCGGTAATT (Upstream)	76 bp	55.56	57.05 °C
	TCTGCATGTGCGGTTGG (Downstream)		58.82	57.87 °C
CCL2	AGCCAGATGCAATCAATGCC (Upstream)	119 bp	50.00	59.25 °C
	AGCTTCTTGGGACACTTGCT (Downstream)		47.62	60.13 °C
IL-1β	ACAGTGGCAATGAGGATG (Upstream)	129 bp	50.00	54.54 °C
	TGTAGTGGTGGTCGGAGA (Downstream)		55.56	56.74 °C
IL-6	GTACATCCTCGACGGCATH (Upstream)	98 bp	57.89	57.82 °C
	TCAGGTTGTTTCTGCCAGT (Downstream)		45.00	57.56 °C
CCL20	GCGAACATCAGAACGAGCAAGC (Upstream)	116 bp	55.00	60.52 °C
	GATGTCACAGCCTTCATTGGC (Downstream)		52.38	59.87 °C
CXCL5	CAGACCACGCAAGGAGTTCA (Upstream)	82 bp	55.00	60.25 °C
	CTTCCACCTTGGAGCAGTGT (Downstream)		55.00	59.89 °C
P38	GGCAGGAGCTGAACAAGACA (Upstream)	92 bp	55.00	60.25 °C
	AGCACACACAGAGCCATAGG (Downstream)		55.00	59.75 °C
CSF2	GAAACTTCCTGTGCAACCC (Upstream)	121 bp	52.63	56.73 °C
	CATCTGGCCGGTCTCACTC (Downstream)		63.16	59.86 °C
AP-1	TCGCTGCCTCCAAGTGCCGAAA (Upstream)	134 bp	59.09	67.20 °C
	AAGCTGTGCCACCTGTTCCCT (Downstream)		57.14	64.32 °C
CREB5	AAGACTGCCAATAACAGCC (Upstream)	150 bp	50.00	58.16 °C
	CCACCTCGCTGACCGATG (Downstream)		66.67	60.20 °C

1.2.6 Western blotting 检测 使用 RIPA 蛋白裂解液(强)和苯甲基磺酰氟 PMSF、蛋白酶抑制剂、磷酸酶抑制剂提取细胞总蛋白,BCA 法测定蛋白浓度,加入蛋白 Loading buffer 金属浴 15 min 变性。配置 10% SDS-PAGE 凝胶,按 50 μg/孔的浓度上样,电泳分离蛋白各组分后,电转至 PVDF 膜上,5% BSA-TBST 溶液封闭 1 h。4 °C 孵育 NPHP1(1:1000)、C/EBPβ(1:1000)、p38(1:1000)、phospho-p38(1:1000)一抗过夜(至少 8 h)。TBST 洗膜 10 min,重复 3 次。加入 1:10 000 稀释的对应二抗室温孵育 1 h。再次 TBST 洗膜 10 min,重复 3 次。ECL 超敏发光显影并拍照。以 β-tubulin 为内参,使用 ImageJ 软件分析各条带的平均灰度值。各蛋白的表达水平=各蛋白灰度值/对应内参灰度值。

1.2.7 酶联免疫吸附实验(ELISA) ELISA 试剂盒由武汉华美生物工程有限公司提供。细胞培养液上清的提

取在无菌条件下进行,实验全程严格按照试剂盒说明书步骤进行。根据浓度梯度标准品 A 值拟合曲线,样品孔 A 值减去本底值即为样品 A 值,代入曲线方程计算浓度。

### 1.3 统计学方法

采用 GraphPad Prism9.0 统计学软件分析。计量资料均以均数±标准差表示。两组资料比较采用 t 检验,多组资料比较采用单因素方差分析。P<0.05 为差异具有统计学意义。

## 2 结果

### 2.1 成功构建 NPHP1 低表达 HK2 细胞模型

结果显示,LV-NPHP1-RNAi(106032-1)转染的 NPHP1<sup>KD</sup>HK2 细胞 NPHP1 的 mRNA 表达降低 74% (图 1A),其编码蛋白 nephrocystin-1 相对灰度值较 NPHP1WTHK2 细胞低,下降约 30%(图 1B~C,P<0.05)。

细胞免疫荧光图像显示, *NPHP1* 的荧光显色主要在细胞质至细胞膜的部分。与 *NPHP1*WT HK2 细胞相比,

*NPHP1*<sup>KD</sup>HK2 细胞中 TRITC 荧光(红色)表达丰度明显下降(图 1D~E,  $P < 0.05$ )。

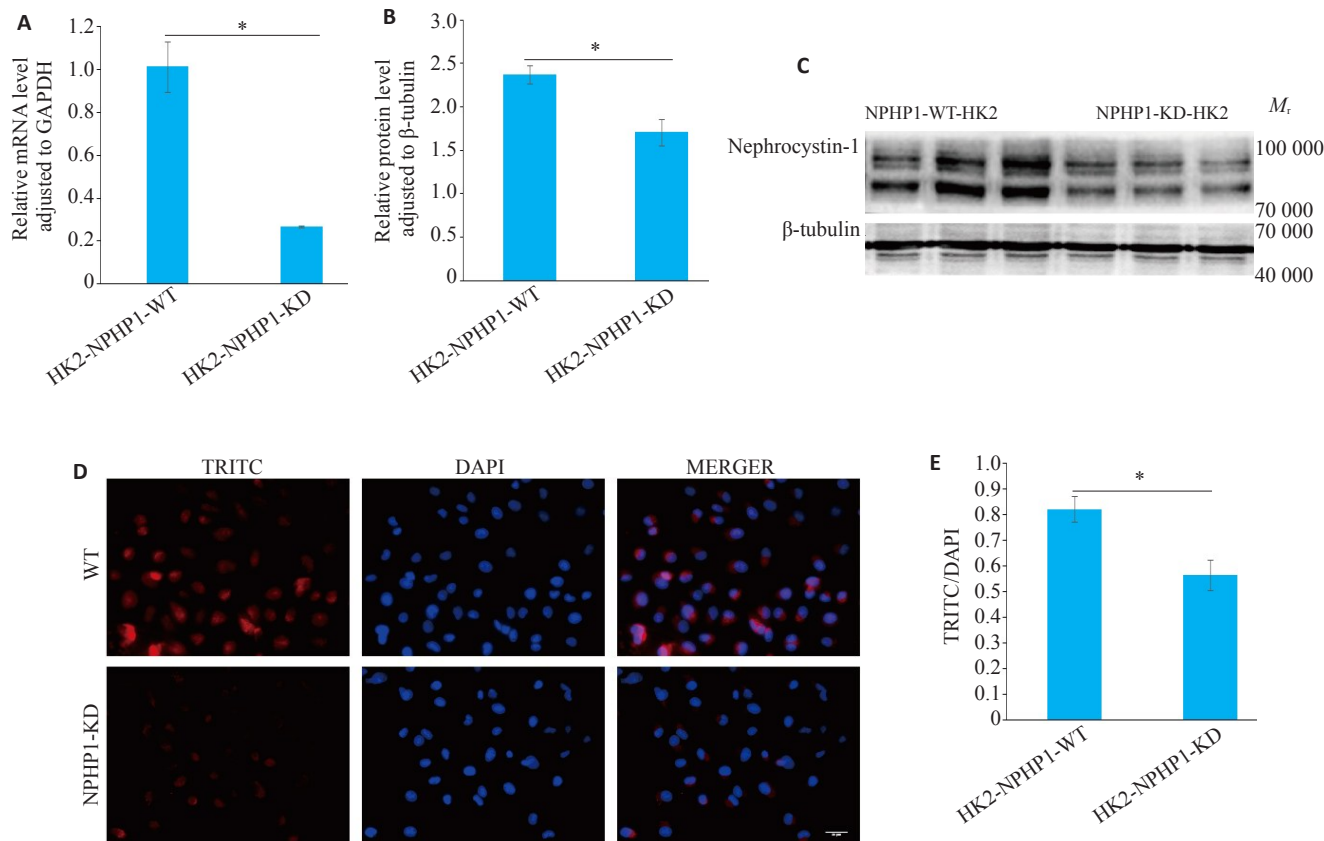


图1 转染LV-*NPHP1*-RNAi后HK2细胞*NPHP1*的表达

Fig.1 Expression of *NPHP1* in HK2 cells after LV-*NPHP1*-RNAi transfection. A: Relative *NPHP1* mRNA level. B: Relative protein levels of nephrocystin-1 ( $n=3$ ). C: Western blotting for detecting nephrocystin-1 expression in *NPHP1*WT HK2 and *NPHP1*<sup>KD</sup>HK2. D: Immunofluorescence staining images of *NPHP1*WT HK2 and *NPHP1*<sup>KD</sup>HK2 (scale bar=50 μm). E: Quantification of *NPHP1* staining. \* $P < 0.05$ .

## 2.2 敲低 HK2 细胞 *NPHP1* 表达, TNF-α 及其调控的炎症因子 CXCL5、CSF2、IL-1β、IL-6 表达增加

qRT-PCR 结果显示, *NPHP1*<sup>KD</sup>HK2 细胞中 TNF-α、转录因子 C/EBPβ 及其下游的 CXCL5、IL-1β 和 IL-6 的 mRNA 表达上调(图 2A~F,  $P < 0.05$ )。提示 *NPHP1* 缺陷 HK2 细胞, TNF-α 信号通路被激活。但 TNF-α 相关的炎症因子 CCL2、CCL20 的 mRNA 表达下调(图 2G、H)。

## 2.3 C/EBPβ 介导 *NPHP1*<sup>KD</sup>HK2 细胞 TNF 信号通路下游炎症因子表达

敲低 HK2 细胞 *NPHP1* 表达后, C/EBPβ 的 mRNA 表达上调, 差异有统计学意义( $P < 0.01$ ); 但 AP-1 和 CREB5 的 mRNA 表达与对照组比, 差异无统计学意义( $P > 0.05$ , 图 3)。转染 siRNA-C/EBPβ 后, *NPHP1*WT HK2 和 *NPHP1*<sup>KD</sup>HK2 细胞, C/EBPβ 的 mRNA 表达下降, 蛋白

表达水平明显降低, C/EBPβ 的蛋白亚基 LAP\* 和 LIP 的表达趋势降低较为明显( $P < 0.05$ , 图 4)。

进一步验证敲低 C/EBPβ 表达, 对 *NPHP1*<sup>KD</sup>HK2 细胞 TNF 信号通路调控炎症因子表达的影响。结果显示, 敲低 C/EBPβ 表达, *NPHP1*<sup>KD</sup>HK2 细胞 CSF2、CCL20、CXCL5、IL-1β、IL-6 的 mRNA 表达水平下降, 而 CCL2 表达上调( $P < 0.05$ , 图 5)。

酶联免疫吸附实验结果显示, 敲低转录因子 C/EBPβ 表达后, IL-6 的分泌显著减少( $P < 0.001$ ); IL-1β 的分泌也减少, 但因表达量较低, 差异无统计学意义( $P > 0.05$ ); 另外 MCP-1 的分泌增加( $P < 0.001$ )。

## 2.4 敲低 C/EBPβ 对 TNF-α 信号通路细胞内信号转导因子的影响

分析敲低 *NPHP1* 以及同时敲低 C/EBPβ 对 p38 表

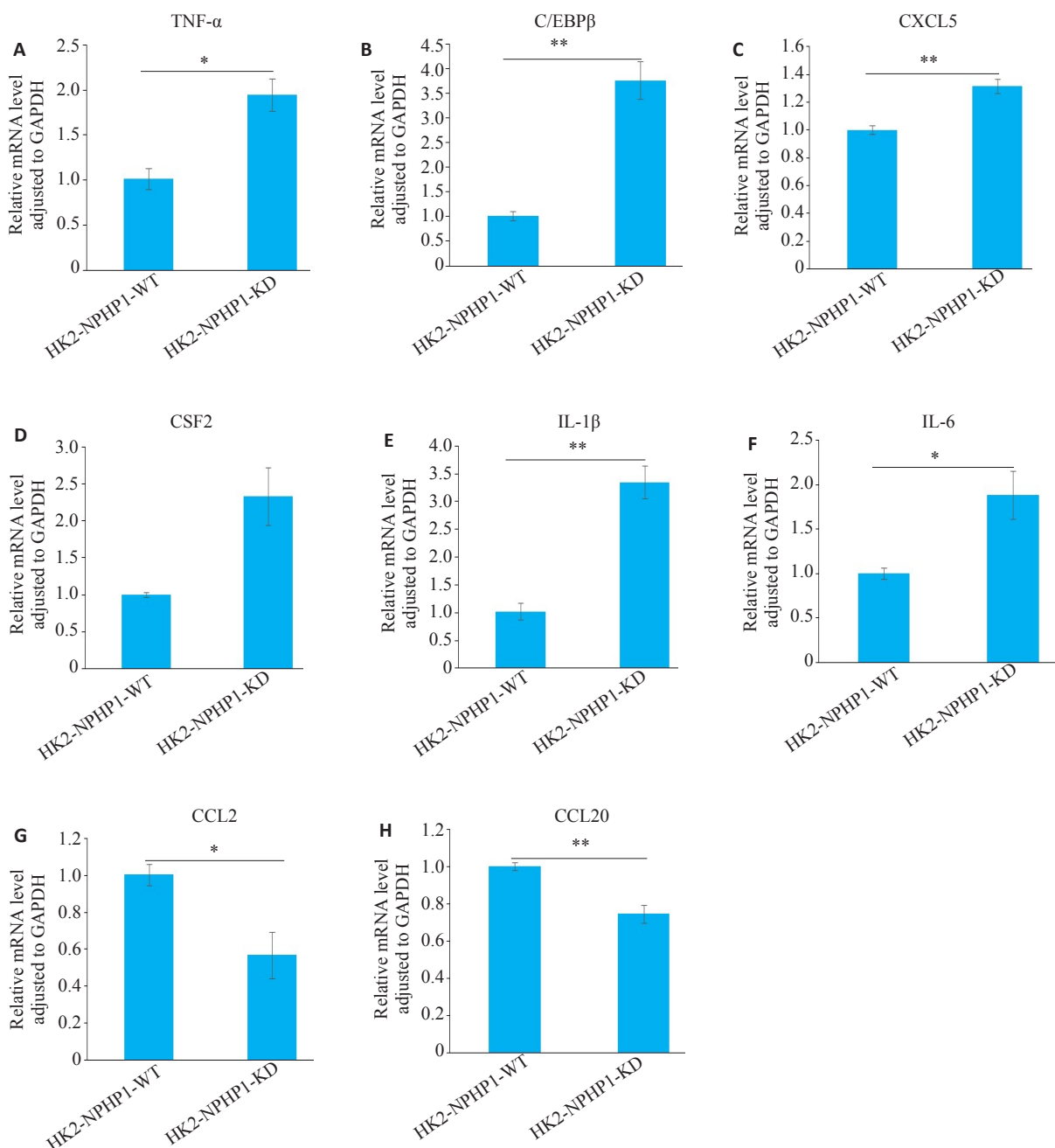


图2 敲低NPHP1表达对TNF- $\alpha$ 信号通路的影响

Fig.2 Effect of NPHP1 knockdown on TNF- $\alpha$  signaling pathway in HK2 cells. A-H: Relative mRNA levels normalized to GAPDH. Compared with NPHP1WT HK2 cells, the expression of TNF- $\alpha$ , C/EBP $\beta$ , CXCL5, IL-1 $\beta$  and IL-6 was up-regulated, and the expression of CCL2 and CCL20 was down-regulated in NPHP1<sup>KD</sup> HK2 cells ( $n=3$ ). \* $P<0.05$ ; \*\* $P<0.01$ .

达及其活性的影响,结果显示,p38在各组细胞的mRNA和蛋白表达水平差异无统计学意义(图7A~C)。但磷酸化P38的水平,在NPHP1<sup>KD</sup>HK2细胞明显升高,同时敲低C/EBP $\beta$ 表达后显著下降( $P<0.05$ ,图7B、D)。

### 3 讨论

目前已发现950余种纤毛相关基因,这些基因的突变可能会导致人类疾病发生,已有超过35种人类基因

遗传性病被称为“纤毛病”,与180余种已确定的纤毛病相关蛋白有关,这些纤毛病通常以肾脏纤毛病为特征起病,严重影响肾脏发育和生理功能<sup>[12, 13]</sup>。纤毛是一种进化保守的细胞器,几乎所有稳定细胞都存在纤毛<sup>[14]</sup>,其中包括肾小管细胞。肾脏纤毛病由于纤毛的调节细胞极性功能失调,常常表现为囊肿性肾病。肾单位肾痨是一种属于初级纤毛基因缺陷所导致的遗传病。囊肿形成、间质纤维化和炎症是NPH的特征性病理改变,

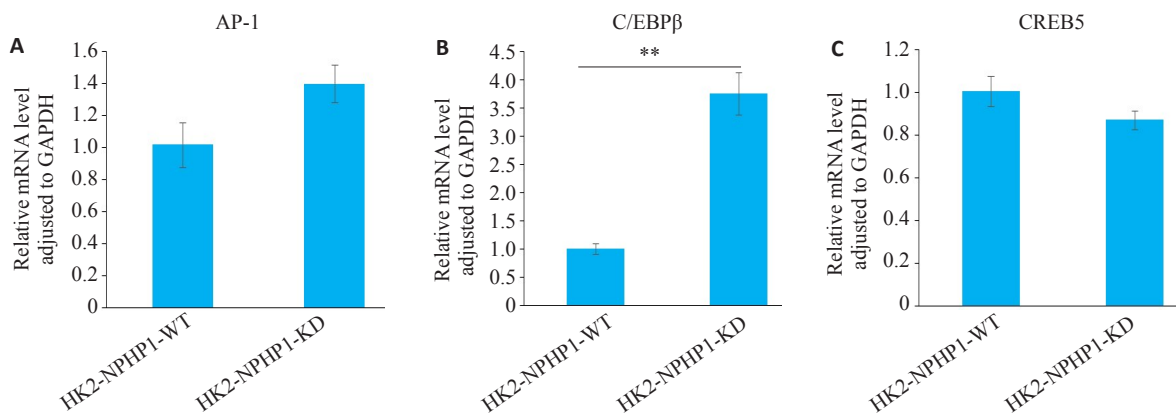
图3 敲低NPHP1表达对TNF- $\alpha$ 通路相关3种转录因子表达水平的影响

Fig.3 Relative mRNA expressions of the transcription factors AP-1 (A), C/EBP $\beta$  (B) and CREB5 (C) of TNF- $\alpha$  signaling pathway in NPHP1<sup>KD</sup> HK2 cells ( $n=3$ ). \*\* $P<0.01$ .

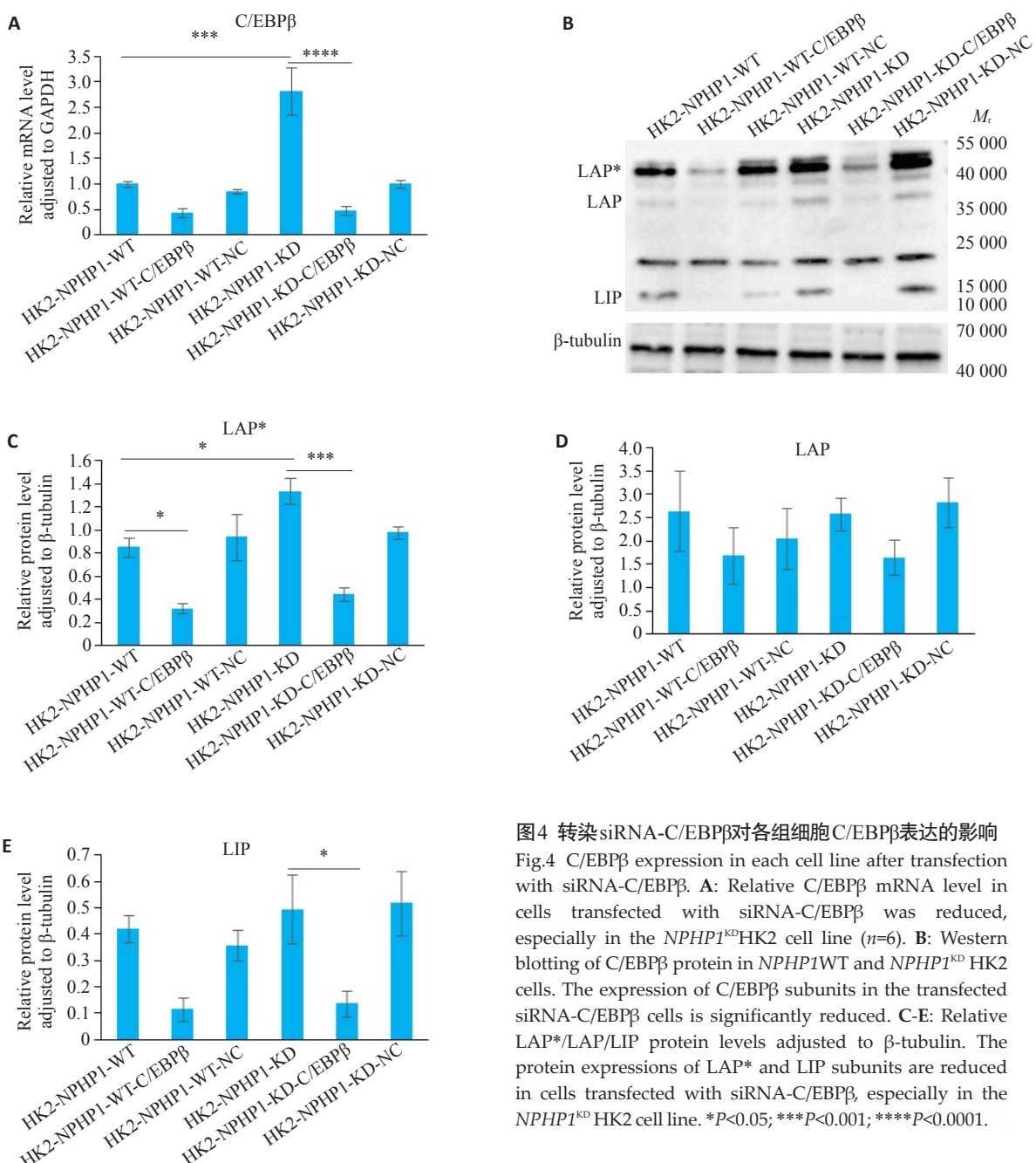


图4 转染siRNA-C/EBPβ对各组细胞C/EBPβ表达的影响

Fig.4 C/EBP $\beta$  expression in each cell line after transfection with siRNA-C/EBP $\beta$ . A: Relative C/EBP $\beta$  mRNA level in cells transfected with siRNA-C/EBP $\beta$  was reduced, especially in the NPHP1<sup>KD</sup>HK2 cell line ( $n=6$ ). B: Western blotting of C/EBP $\beta$  protein in NPHP1WT and NPHP1<sup>KD</sup> HK2 cells. The expression of C/EBP $\beta$  subunits in the transfected siRNA-C/EBP $\beta$  cells is significantly reduced. C-E: Relative LAP\*/LAP/LIP protein levels adjusted to  $\beta$ -tubulin. The protein expressions of LAP\* and LIP subunits are reduced in cells transfected with siRNA-C/EBP $\beta$ , especially in the NPHP1<sup>KD</sup> HK2 cell line. \* $P<0.05$ ; \*\* $P<0.01$ ; \*\*\* $P<0.001$ ; \*\*\*\* $P<0.0001$ .

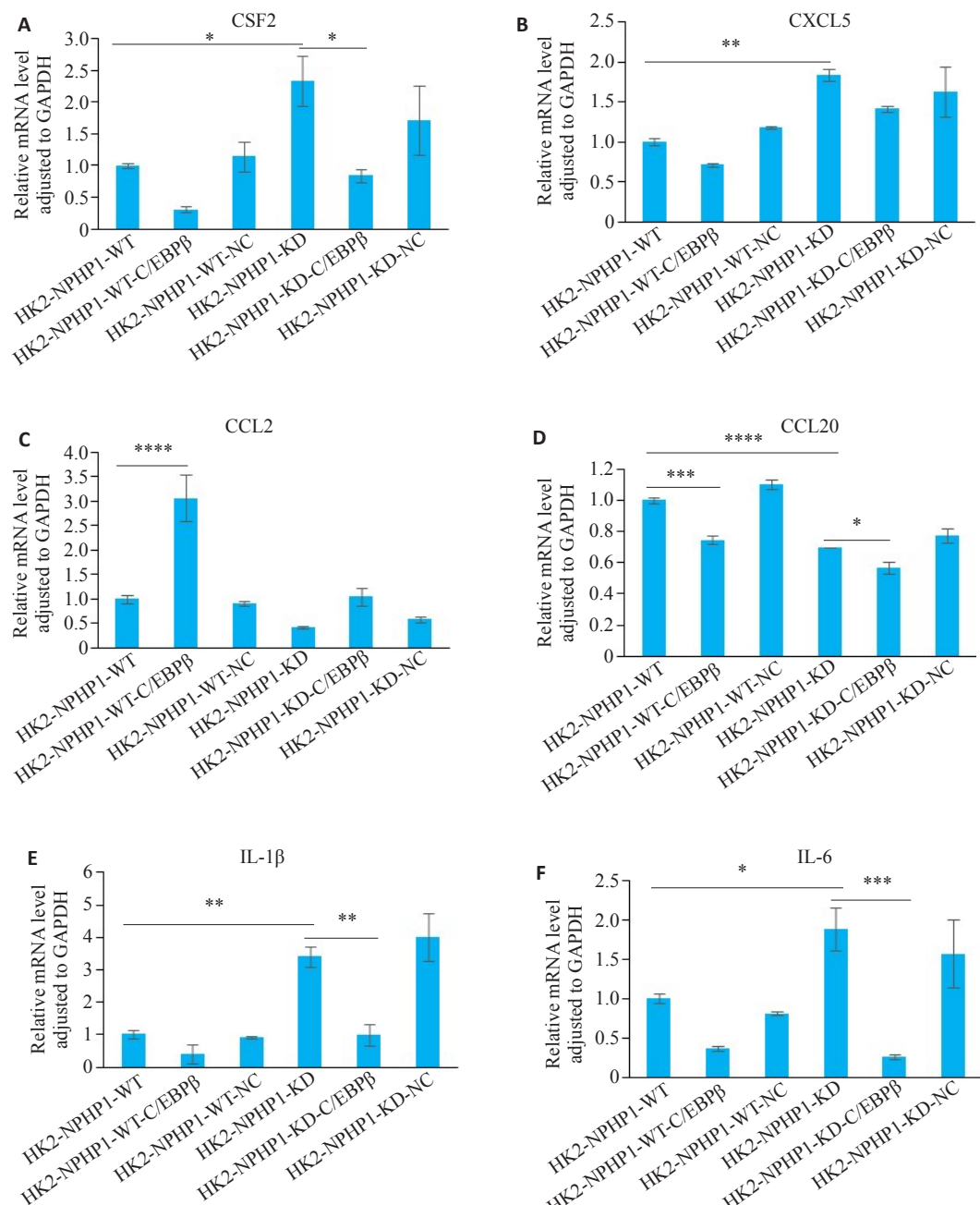


图5 敲低HK2细胞C/EBP $\beta$ 对TNF- $\alpha$ 信号通路调控炎症因子mRNA表达水平的影响

Fig.5 Effect of C/EBP $\beta$  knockdown on the expression of inflammatory factors related to TNF- $\alpha$  signaling pathway in HK2 cell lines. A-F: Relative each target mRNA level adjusted to GAPDH. CSF2, CCL20, IL-1 $\beta$ , and IL-6 are decreased and CCL2 is increased with the downregulation of C/EBP $\beta$ , and the change of CXCL5 is not statistically significant. \*P<0.05; \*\*P<0.01; \*\*\*P<0.001; \*\*\*\*P<0.0001.

关于NPH囊肿和纤维化的研究已有相关成果<sup>[2,15,16]</sup>。但是肾脏炎症机制的探究尚不足。本研究根据NPHP1敲低的犬远曲小管上皮细胞,以及NPHP1和NPHP5缺陷患者尿液上皮细胞转录组测序结果,通过差异基因富集分析筛选,将研究聚焦在TNF- $\alpha$ 信号通路。

TNF- $\alpha$ 信号通路是调控细胞凋亡、炎症和免疫的主要机制,参与多种病理生理过程和多种疾病的发生发展<sup>[17]</sup>。肿瘤坏死因子受体1(TNFR1)是大多数细胞

TNF起作用的媒介,而肿瘤坏死因子受体2(TNFR2)主要在免疫细胞、内皮细胞等中起作用<sup>[18]</sup>。TNF-R1识别TNF- $\alpha$ 分子后转移至细胞膜的脂质筏上,诱导受体胞内段发生构象变化,使配体-受体复合物能够招募适应分子TNFR1相关的死亡结构蛋白(TRADD),TRADD进一步募集受体相互作用的丝氨酸/苏氨酸蛋白激酶1(RIPK1)<sup>[19-21]</sup>。至此TNFR1复合物I的组装就完成了,该复合物是指导下游信号通路激活的关键分子。

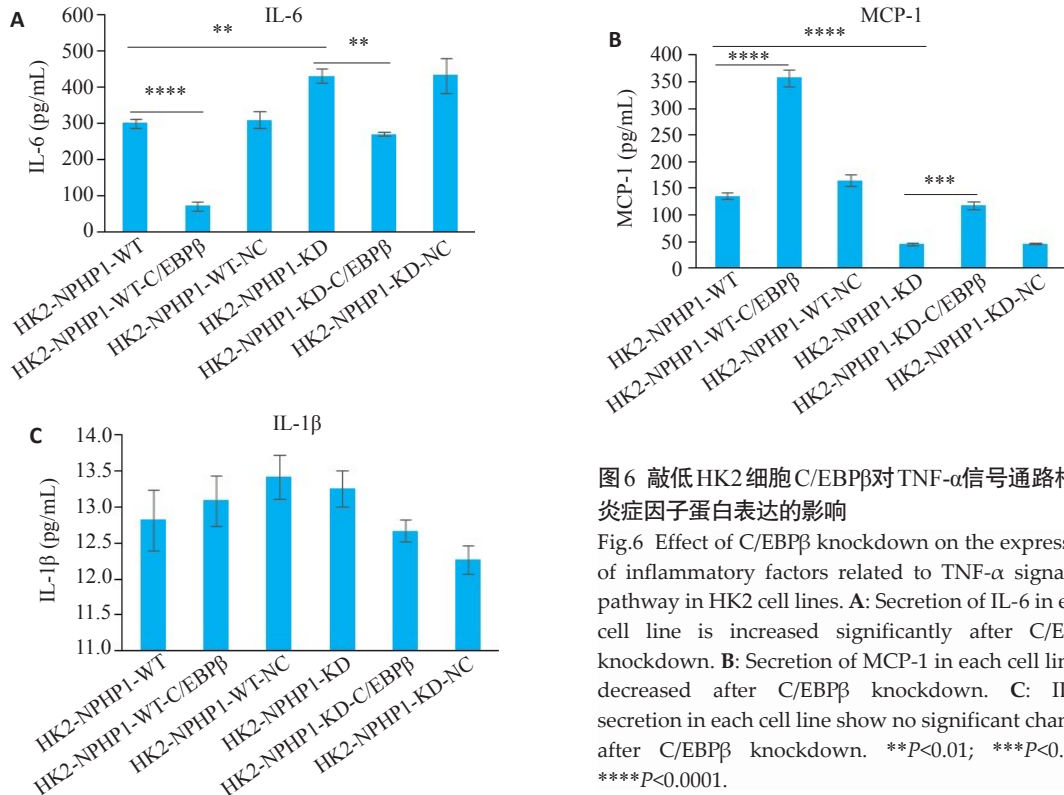


图6 敲低HK2细胞C/EBP $\beta$ 对TNF- $\alpha$ 信号通路相关炎性因子蛋白表达的影响

Fig.6 Effect of C/EBP $\beta$  knockdown on the expression of inflammatory factors related to TNF- $\alpha$  signaling pathway in HK2 cell lines. A: Secretion of IL-6 in each cell line is increased significantly after C/EBP $\beta$  knockdown. B: Secretion of MCP-1 in each cell line is decreased after C/EBP $\beta$  knockdown. C: IL-1 $\beta$  secretion in each cell line show no significant changes after C/EBP $\beta$  knockdown. \*\*P<0.01; \*\*\*P<0.001; \*\*\*\*P<0.0001.

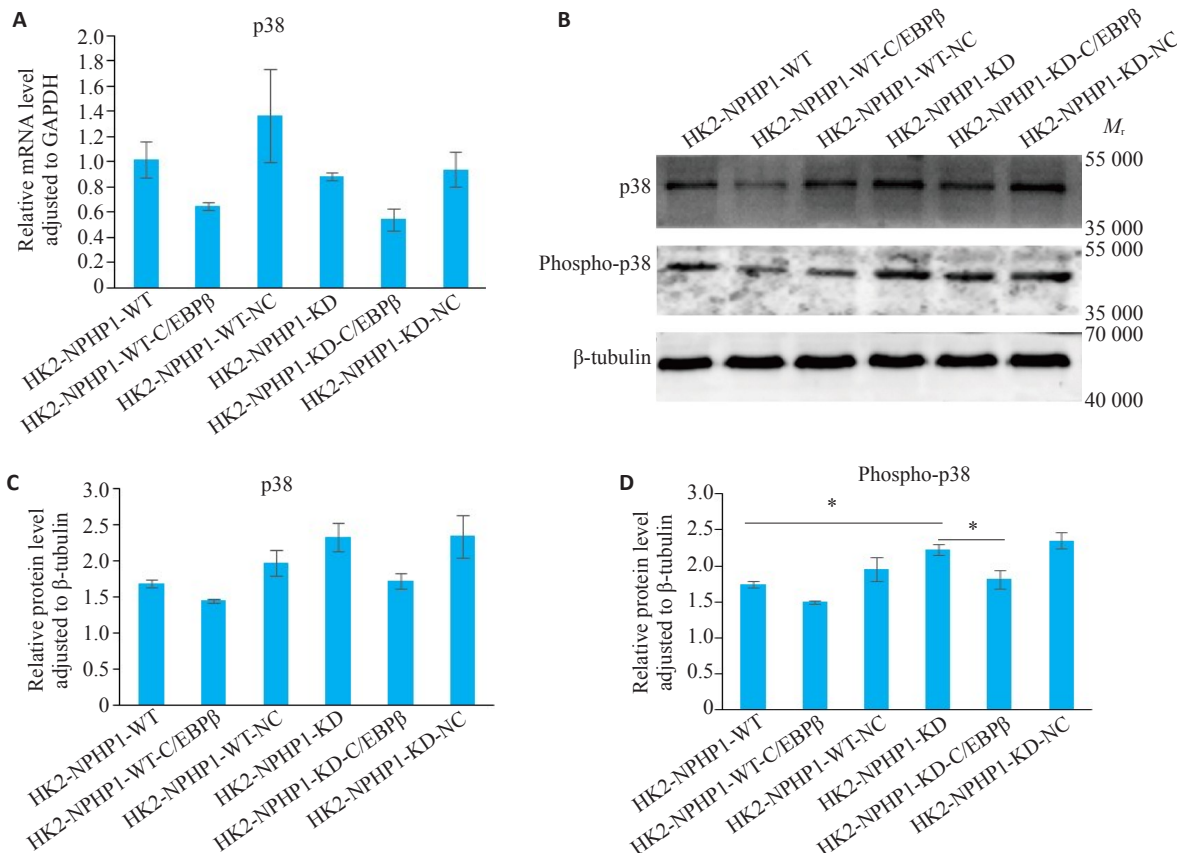


图7 敲低各组HK2细胞C/EBP $\beta$ 表达对p38活性的影响

Fig.7 Effect of C/EBP $\beta$  knockdown on the activation of p38 in each HK2 cell line. A-C: Both p38 mRNA and protein levels are downregulated after C/EBP $\beta$  knockdown in NPHP1<sup>WT</sup>HK2 cell line, but the changes are not significant between each cell groups. D: Phospho-p38 protein level is increased significantly in NPHP1<sup>KD</sup>HK2 cells compared with NPHP1<sup>WT</sup>HK2 cell, and is decreased significantly after C/EBP $\beta$  knockdown in NPHP1<sup>KD</sup>HK2 cells (Western blotting). \*P<0.05.

TNFR1复合物I招募转化生长因子β激活激酶1(TAK1)，进而介导p38激活<sup>[22]</sup>。而p38 MAPKs能够激活多种转录因子，包括CCAAT增强子结合蛋白β(C/EBPβ)、ATF1/2/6、血清反应因子附属蛋白1等<sup>[23]</sup>。C/EBPβ是维持上皮细胞稳定性所必需的<sup>[24]</sup>，它的激活对体内细胞因子分泌至关重要<sup>[11,25]</sup>。由此我们推测p38-C/EBPβ轴对NPH肾脏炎症损伤有重要调控作用<sup>[26,27]</sup>。

本研究结果显示，在敲低*NPHP1*表达后，HK2细胞的TNF-α表达上调，phospho-p38磷酸化水平和C/EBPβ表达升高，其调控下游的炎症因子CXCL5、CSF2、IL-1β、IL-6的表达升高。结果提示TNF-α可能介导*NPHP1*基因缺失的炎症反应发生。TNF-α信号通路主要通过转录因子AP-1、C/EBPβ和CREB5介导下游炎症因子表达<sup>[28-30]</sup>。为进一步清理TNF-α信号通路在*NPHP1*<sup>KD</sup>HK2细胞中的传导链，阐明TNF-α信号通路的作用机制，我们筛选了AP-1、C/EBPβ和CREB5。结合文献及实验结果，认为p38-C/EBPβ轴可能是TNF-α在*NPHP1*<sup>KD</sup>HK2中信号传导的重要介质。为进一步证明该推论，本研究通过siRNA敲低转录因子C/EBPβ表达，实验结果显示，C/EBPβ低表达后，CCL20、CSF2、IL-1β、IL-6的表达也随之下调，证明在*NPHP1*基因缺陷的HK2细胞，C/EBPβ介导其调控的下游炎症因子表达。同时，我们还观察到，敲低C/EBPβ表达后，phospho-p38的表达水平受到抑制，提示TNF-α信号通路的p38-C/EBPβ轴存在一定的负反馈调控。后续研究将进一步阐明TNF-α细胞内的调控机制。既往有研究表明，在构建的NPH模型(LkbΔtub)小鼠中，CCL2的表达上调<sup>[31]</sup>，但在本研究中的NPH的细胞模型，CCL2的表达会随着*NPHP1*基因的低表达而下调。这可能是体内实验与体外实验的差别，我们将于*NPHP1*KO的小鼠模型中再次验证。

综上所述，本研究表明，*NPHP1*基因缺陷导致TNF-α信号通路激活，C/EBPβ介导其下游炎症因子表达。*NPHP1*基因缺陷导致TNF-α信号通路激活介导炎症因子的高表达，可能参与NPH疾病的发生发展，但有待更多的研究证实。

## 参考文献：

- [1] Stokman MF, Saunier S, Benmerah A. Renal ciliopathies: sorting out therapeutic approaches for nephronophthisis [J]. Front Cell Dev Biol, 2021, 9: 653138-45.
- [2] Wu XH, Wang HY, Chen HM, et al. Overexpression of smad7 inhibits the TGF-β/Smad signaling pathway and EMT in *NPHP1*-defective MDCK cells[J]. Biochem Biophys Res Commun, 2021, 582: 57-63.
- [3] 孙良忠, 林宏容, 岳智慧, 等. 少年型肾单位肾病13例临床特点和基因突变分析[J]. 中华儿科杂志, 2016, 54(11): 834-9.
- [4] Snoek R, van Setten J, Keating BJ, et al. *NPHP1* (nephrocystin-1) gene deletions cause adult-onset ESRD[J]. J Am Soc Nephrol, 2018, 29(6): 1772-9.
- [5] Hu QL, Lai JY, Chen HM, et al. Reducing GEF-H1 expression inhibits renal cyst formation, inflammation, and fibrosis via RhoA signaling in nephronophthisis[J]. Int J Mol Sci, 2023, 24(4): 3504-10.
- [6] Halbritter J, Bizet AA, Schmidts M, et al. Defects in the IFT-B component IFT172 cause Jeune and Mainzer-Saldino syndromes in humans[J]. Am J Hum Genet, 2013, 93(5): 915-25.
- [7] Srivastava S, Sayer JA. Nephronophthisis[J]. J Pediatr Genet, 2014, 3 (2): 103-14.
- [8] Srivastava S, Molinari E, Raman S, et al. Many genes-one disease genetics of nephronophthisis (NPHP) and NPHP-associated disorders[J]. Front Pediatr, 2018, 5: 287-93.
- [9] Anvarian Z, Mykytyn K, Mukhopadhyay S, et al. Cellular signalling by primary cilia in development, organ function and disease[J]. Nat Rev Nephrol, 2019, 15(4): 199-219.
- [10] Luo FL, Tao YH. Nephronophthisis: a review of genotype-phenotype correlation[J]. Nephrology, 2018, 23(10): 904-11.
- [11] Bégay V, Baumeier C, Zimmermann K, et al. The C/EBPβ LIP isoform rescues loss of C/EBPβ function in the mouse[J]. Sci Rep, 2018, 8: 841-7.
- [12] McConnachie DJ, Stow JL, Mallett AJ. Ciliopathies and the kidney: a review[J]. Am J Kidney Dis, 2021, 77(3): 410-9.
- [13] Reiter JF, Leroux MR. Genes and molecular pathways underpinning ciliopathies[J]. Nat Rev Mol Cell Biol, 2017, 18(9): 533-47.
- [14] Fliegauf M, Benzing T, Omran H. When cilia go bad: cilia defects and ciliopathies[J]. Nat Rev Mol Cell Biol, 2007, 8(11): 880-93.
- [15] Attanasio M, Uhlenhaut NH, Sousa VH, et al. Loss of GLIS2 causes nephronophthisis in humans and mice by increased apoptosis and fibrosis[J]. Nat Genet, 2007, 39(8): 1018-24.
- [16] Wang QY, Zou BJ, Wei XY, et al. Identification of renal cyst cells of type I Nephronophthisis by single-nucleus RNA sequencing [J]. Front Cell Dev Biol, 2023, 11: 1192935-42.
- [17] Paul BM, Vanden Heuvel GB. Kidney: polycystic kidney disease[J]. Wiley Interdiscip Rev Dev Biol, 2014, 3(6): 465-87.
- [18] Gonzalez Caldito N. Role of tumor necrosis factor-alpha in the central nervous system: a focus on autoimmune disorders[J]. Front Immunol, 2023, 14: 1213448-56.
- [19] Jang DI, Lee AH, Shin HY, et al. The role of tumor necrosis factor alpha (TNF-α) in autoimmune disease and current TNF-α inhibitors in therapeutics[J]. Int J Mol Sci, 2021, 22(5): 2719-26.
- [20] Moatti A, Cohen JL. The TNF-α/TNFR2 pathway: targeting a brake to release the anti-tumor immune response[J]. Front Cell Dev Biol, 2021, 9: 725473-82.
- [21] Brenner D, Blaser H, Mak TW. Regulation of tumour necrosis factor signalling: live or let die[J]. Nat Rev Immunol, 2015, 15(6): 362-74.
- [22] Bai BB, Ji ZL, Wang FF, et al. CTRP12 ameliorates post-myocardial infarction heart failure through down-regulation of cardiac apoptosis, oxidative stress and inflammation by influencing the TAK1-p38 MAPK/JNK pathway [J]. Inflamm Res, 2023, 72(7): 1375-90.
- [23] Cuadrado A, Nebreda A. Mechanisms and functions of p38 MAPK signalling[J]. Biochem J, 2010, 429(3): 403-17.

- [24] Ding H, Chen JJ, Qin JP, et al. TGF- $\beta$ -induced  $\alpha$ -SMA expression is mediated by C/EBP $\beta$  acetylation in human alveolar epithelial cells [J]. Mol Med, 2021, 27(1): 1-12.
- [25] Hu B, Ullenhag MR, Jin H, et al. An essential role for CCAAT/enhancer binding protein  $\beta$  in bleomycin-induced pulmonary fibrosis [J]. J Pathol, 2007, 211(4): 455-62.
- [26] Canovas B, Nebreda AR. Diversity and versatility of p38 kinase signalling in health and disease[J]. Nat Rev Mol Cell Biol, 2021, 22(5): 346-66.
- [27] Liu X, Huang ZS, Zhang YY, et al. Lacidipine ameliorates the endothelial senescence and inflammatory injury through CXCR7/P38/C/EBP- $\beta$  signaling pathway[J]. Front Cardiovasc Med, 2021, 8: 692540-9.
- [28] Chen TL, Zhang XD, Zhu GL, et al. Quercetin inhibits TNF- $\alpha$  induced HUVECs apoptosis and inflammation via downregulating NF-kB and AP-1 signaling pathway *in vitro*[J]. Medicine, 2020, 99(38): e22241-8.
- [29] Qi YC, Duan GZ, Mao W, et al. Taurochenodeoxycholic acid mediates cAMP-PKA-CREB signaling pathway [J]. Chin J Nat Med, 2020, 18(12): 898-906.
- [30] Xia PY, Zhang R, Ge GX. C/EBP $\beta$  mediates TNF- $\alpha$ -induced cancer cell migration by inducing MMP expression dependent on p38 MAPK[J]. J Cell Biochem, 2015, 116(12): 2766-77.
- [31] Quatredeniers M, Bienaimé F, Ferri G, et al. The renal inflammatory network of nephronophthisis [J]. Hum Mol Genet, 2022, 31(13): 2121-36.

(编辑:林萍)